



# ASÜMMEETRILINE ORGANOKATALÜÜS: KLASSIKALISED JA UUED VÕIMALUSED

Tõnis Kanger  
Tallinna Tehnikaülikool

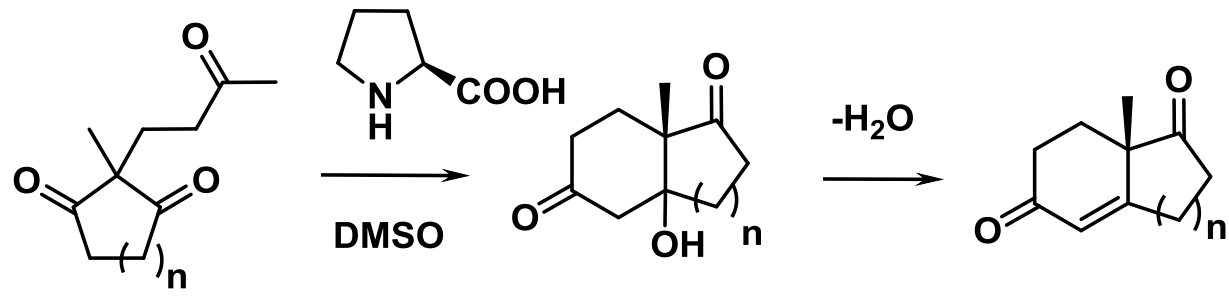
*“Die Fermente and ihre Wirkungen”* C. Oppenheimer,  
Leipzig, 1900

*...dass man später Fermente oder **organische Katalysatoren** auffinden  
Wird, welche auch höhere Temperaturen vertragen.*

Ostwald, W. Z. *Phys. Chem.* **1900**, 34, 510

# Sisemolekulaarne aloolreaktsioon

## Hajos-Parrish-Eder-Sauer-Wiecherti reaktsioon



1:  $n = 2$ , ee 76%

2:  $n = 1$ , ee 93%

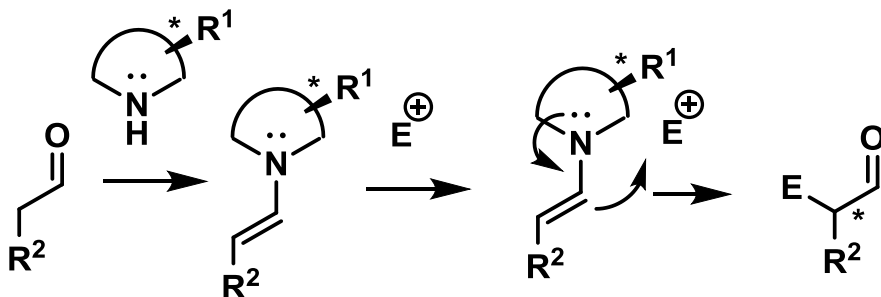
Hajos, Parrish, 1974

Eder, U.; Sauer, G.; Wiechert, R. *Angew. Chem., Int. Ed. Engl.* **1971**, 496.

Hajos, Z. G.; Parrish, D. R. *J. Org. Chem.* **1974**, 1615.

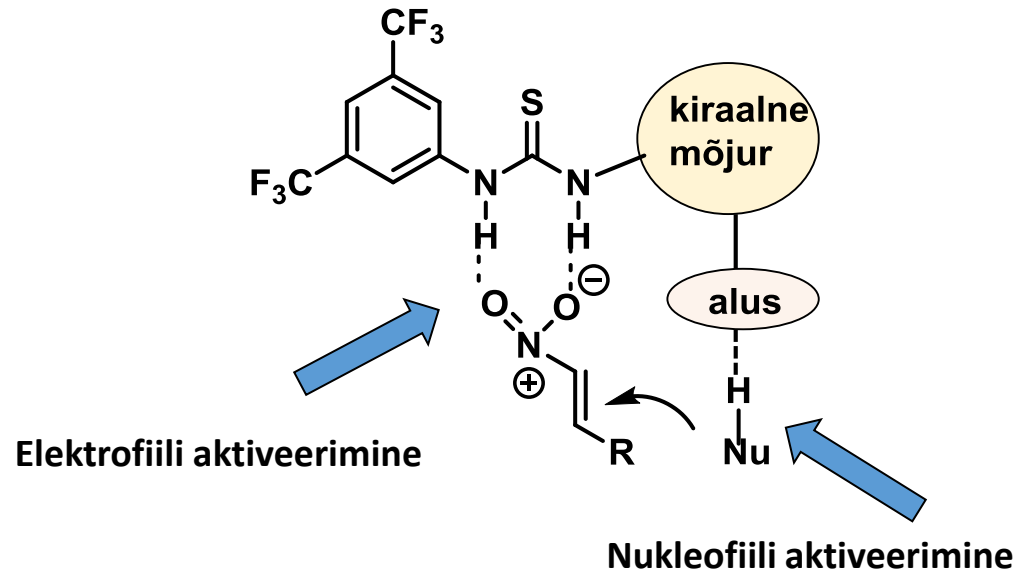
# ORGANOKATALÜÜS

KOVALENTE



Nukleofiili aktiveerimine

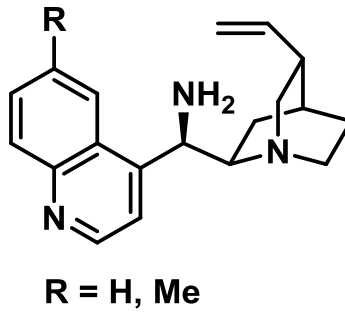
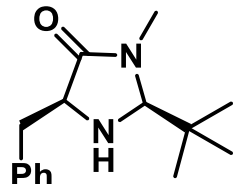
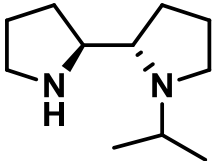
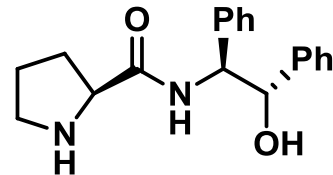
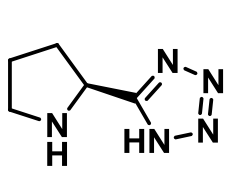
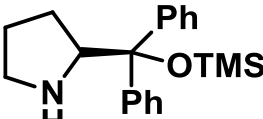
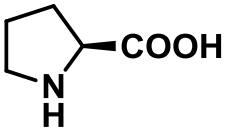
MITTEKOVALENTNE



Elektrofiili aktiveerimine

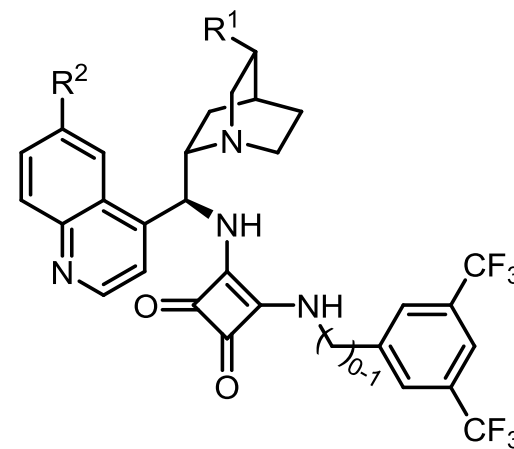
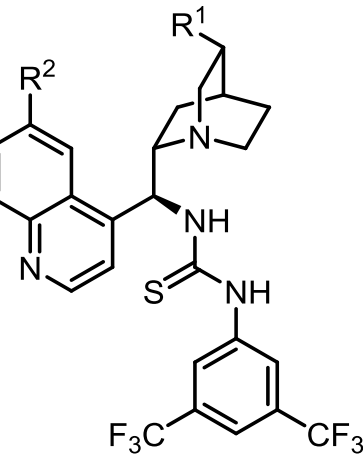
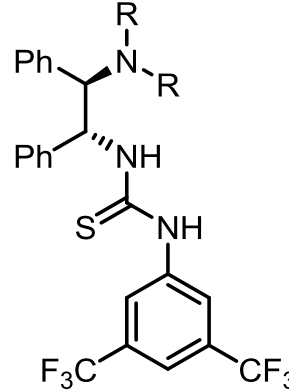
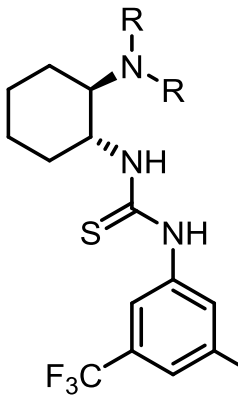
Nukleofiili aktiveerimine

## Enamkasutatavad aminokatalüsaatorid



R = H, Me

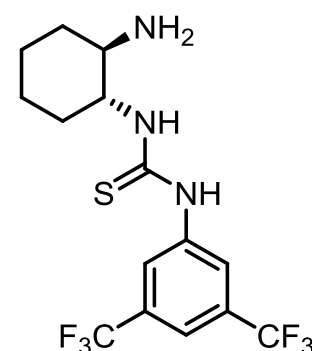
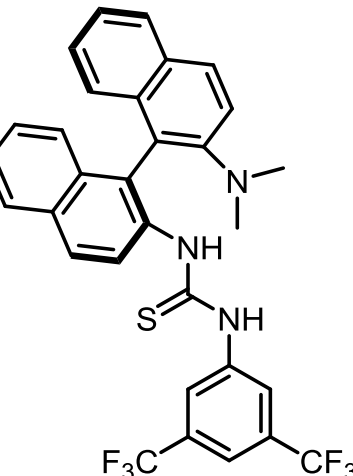
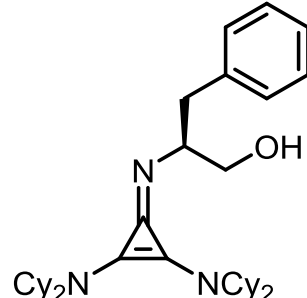
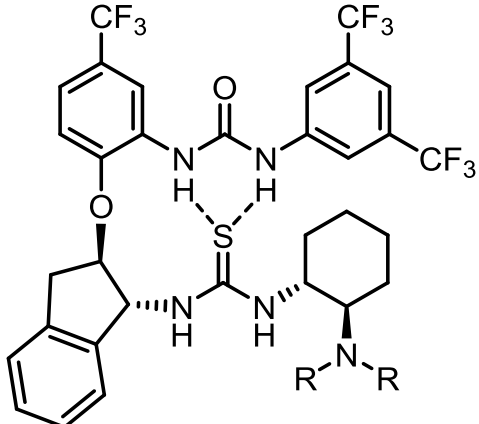
# Enamkasutatavad H-sideme katalüsaatorid



$\text{R}$  = alküül või  $\text{C}_4\text{-}\text{C}_5$  tsüklid

$\text{R}^1$  = etüül või vinüül

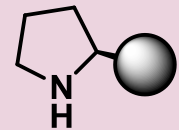
$\text{R}^2$  = H, OH või OMe



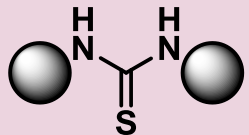
$\text{R}$  = alküül või  $\text{C}_4\text{-}\text{C}_5$  tsüklid

# Organokatalüütised reaktsioonid

Katalüsaator



Aktiveerimine



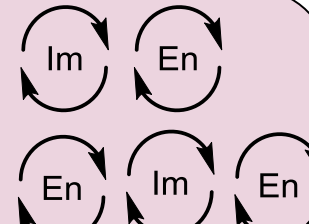
Tüüpilised reaktsioonid

Enamiini aktiveerimine,  
aldehydid ja ketoonid



Aldoolreaktsioon  
 $\alpha$ -funktionaliseerimine  
Michaeli reaktsioon  
Mannichi reaktsioon

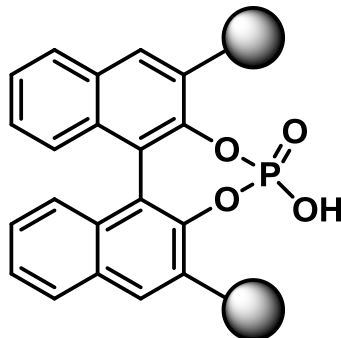
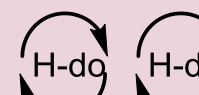
Kaskaadid



H-side



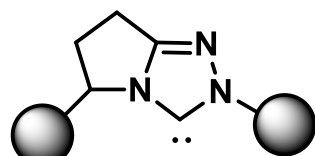
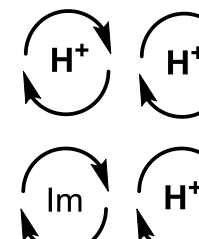
Michaeli reaktsioon  
Henry reaktsioon  
Mannichi reaktsioon  
Streckeri reaktsioon



Protoneerimine  
(vastasiooni katalüüs)



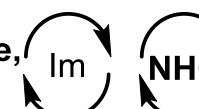
Taandamine,  
Mannichi reaktsioon,  
Fridel-Craftsi reaktsioon,  
Michaeli reaktsioon



N-heterotsükiline  
karbeen

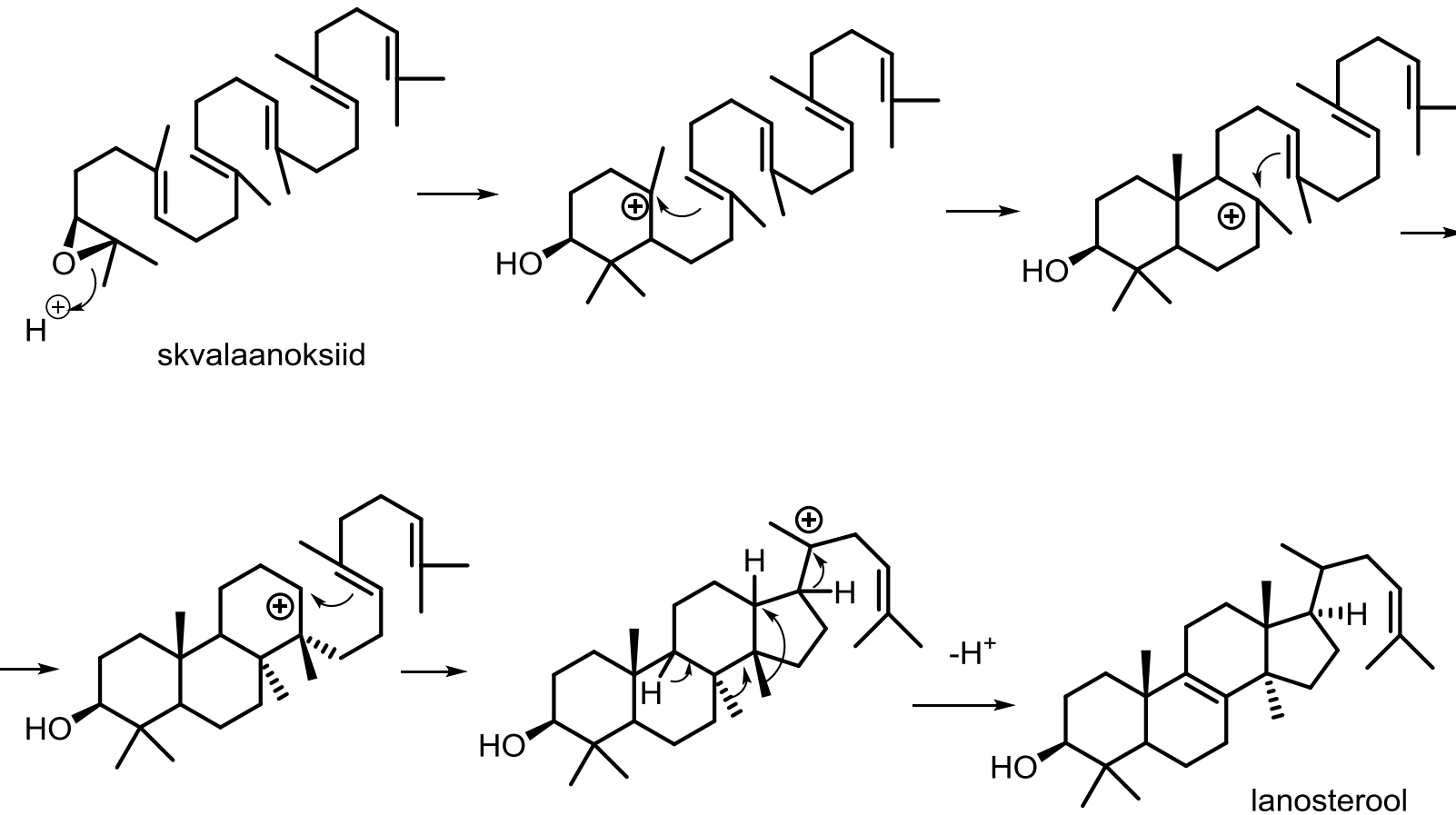


Nukleofiilne atsüleerimine,  
Stetteri reaktsioon

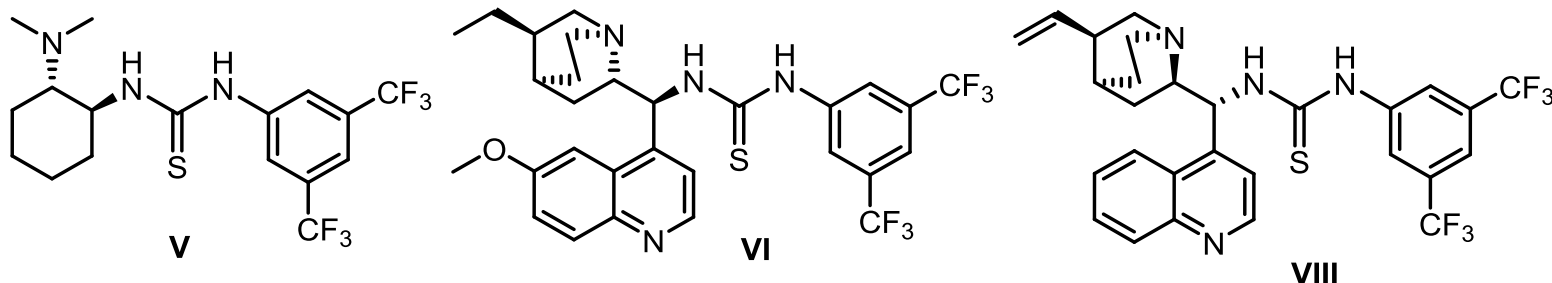
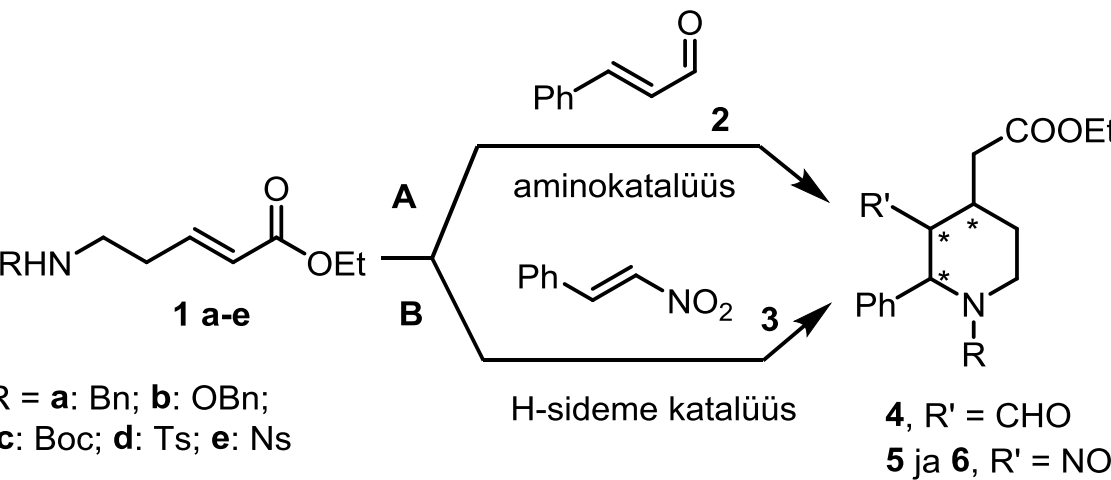
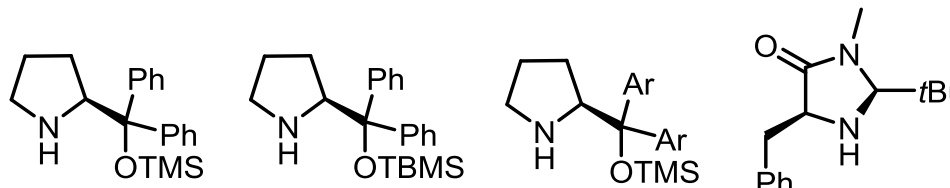


C. Grondal, M. Jeanty, D. Enders. *Nature Chemistry*, 2010, 2, 167.

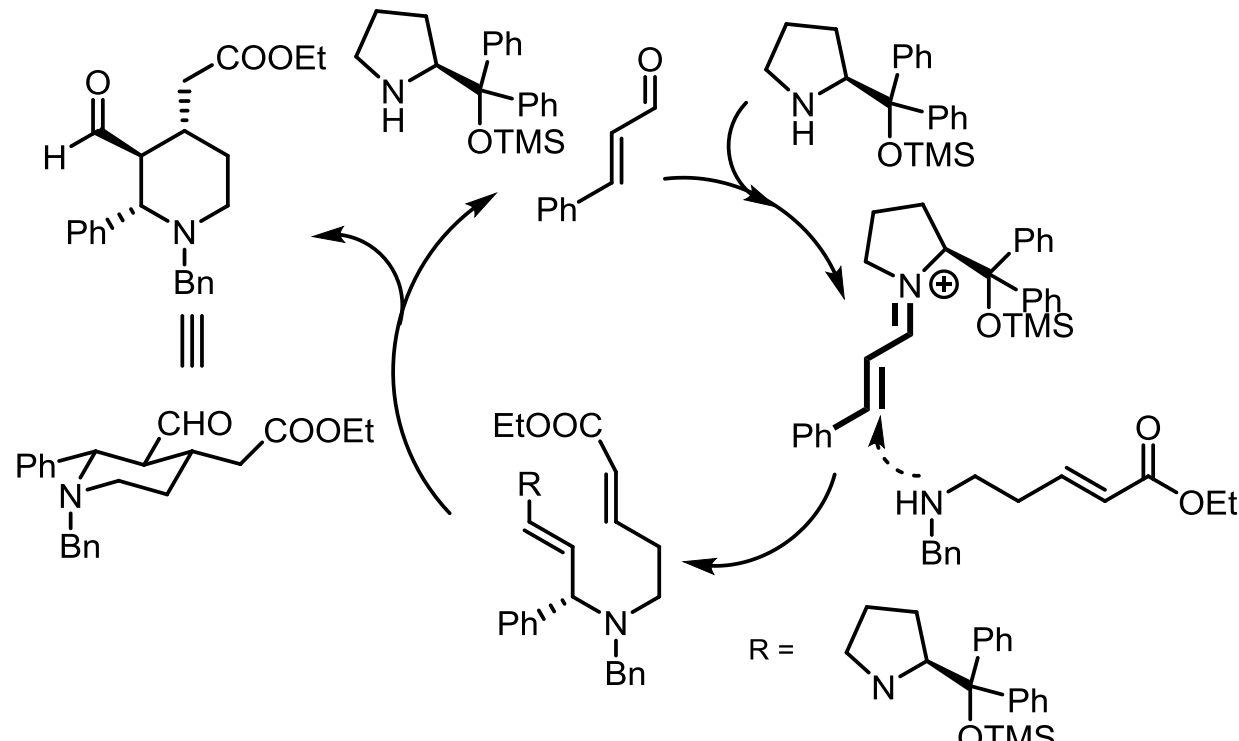
# Lanosterooli biosünteesi kaskaad



# 2,3,4-triasendatud piperidiinide süntees

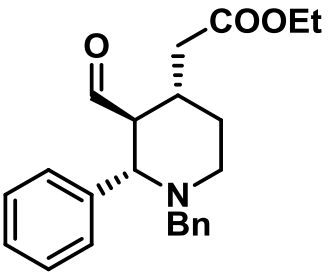


# 2,3,4-triasendatud piperidiinide süntees: aminokatalüüs

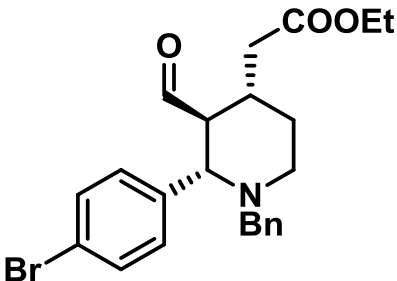


Aminokatalüütise kaskaadreaktsiooni mehhanism

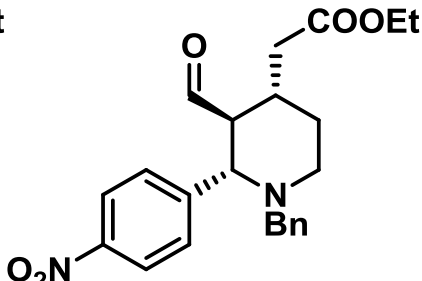
# 2,3,4-triasendatud piperidiinide süntees: aminokatalüüs



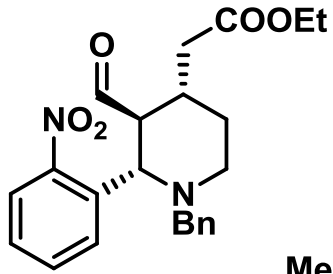
y: 77%  
ee 86%



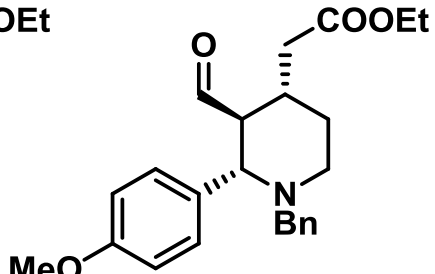
y: 75%  
ee 86%



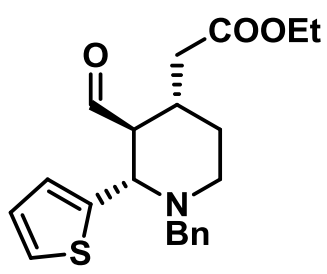
y: 89%  
ee 92%



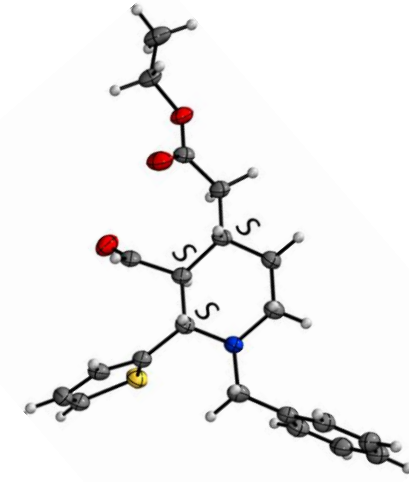
y: 55%  
ee 68%



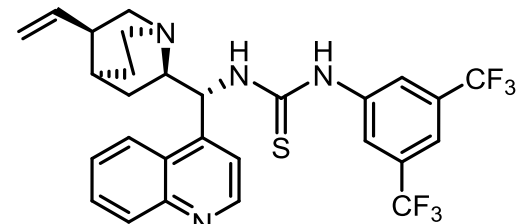
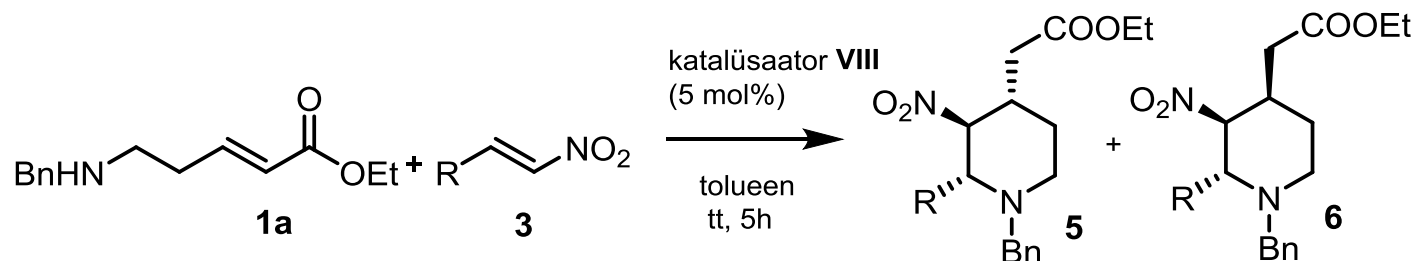
y: 34%  
ee 85%



y: 63%  
ee 88%



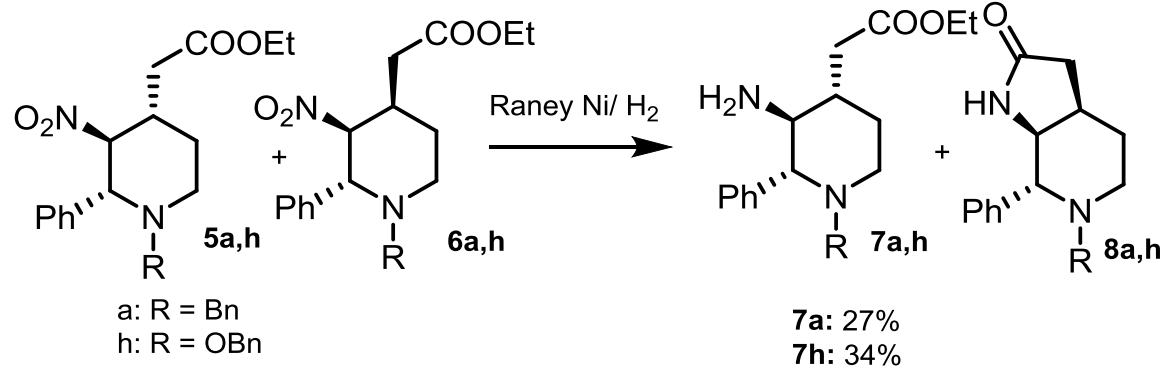
# 2,3,4-triasendatud piperidiinide süntees: H-sideme katalüüs



katalüsaator VIII

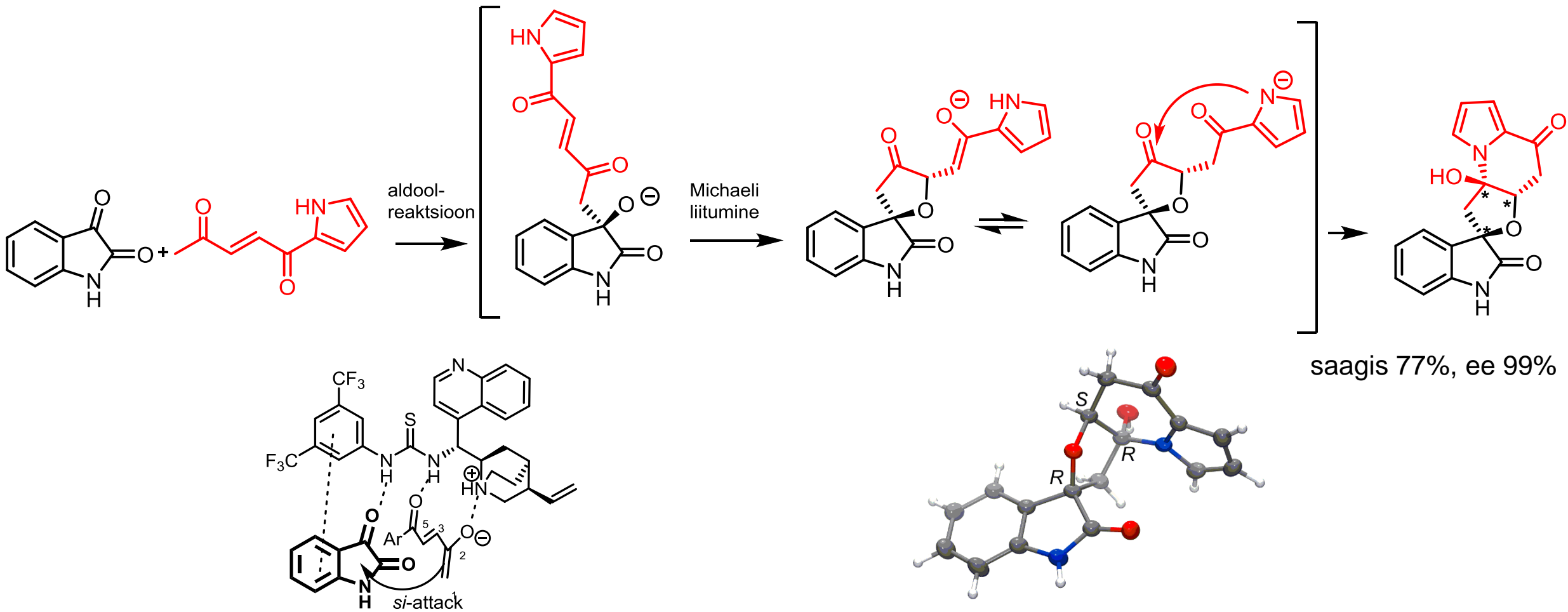
Nr	R	saagis (%)	dr	ee 5/6 (%)
1	a: Ph	95	1.4:1	97/97
2	b: p-MeOPh	89	1.2:1	97/98
3	c: p-F <sub>3</sub> COPh	98	1.3:1	85/91
4	d: p-ClPh	79	1.3:1	89/94
5	e: m-MePh	73	1.3:1	n.d.
6	f: p-NO <sub>2</sub> Ph	85	1:1	88/93
7	g: thiophen-2-üül	68	1.3:1	96/96

# 2,3,4-triasendatud piperidiinide süntees: H-sideme katalüüs

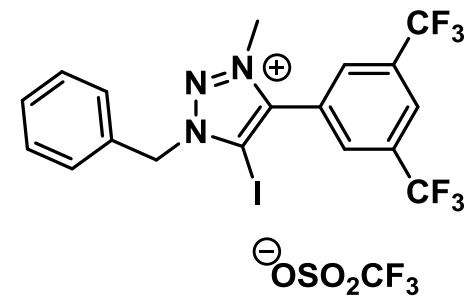
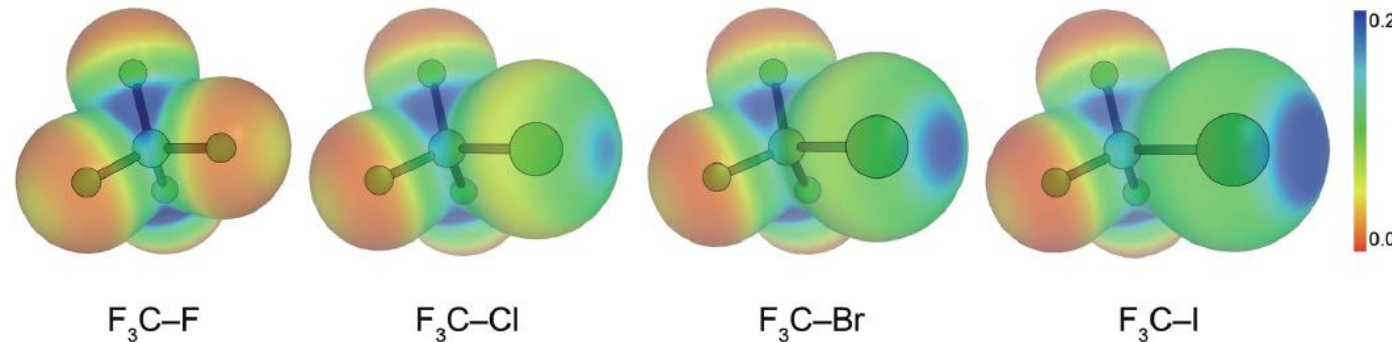
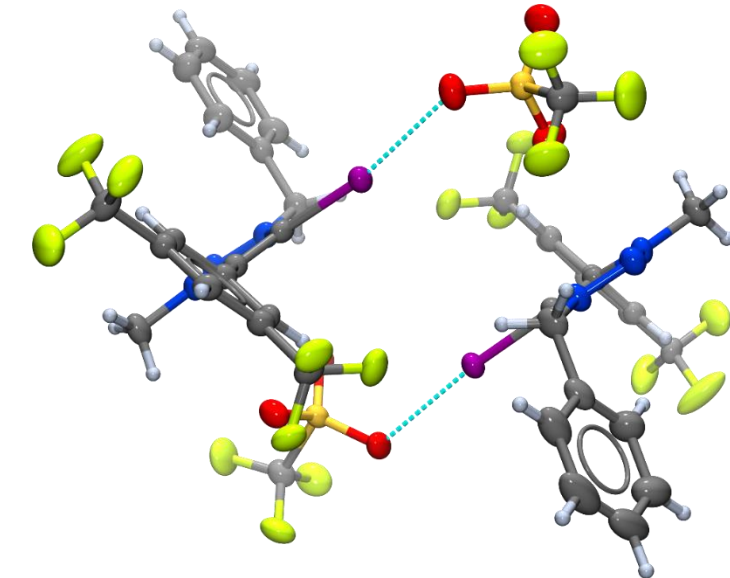
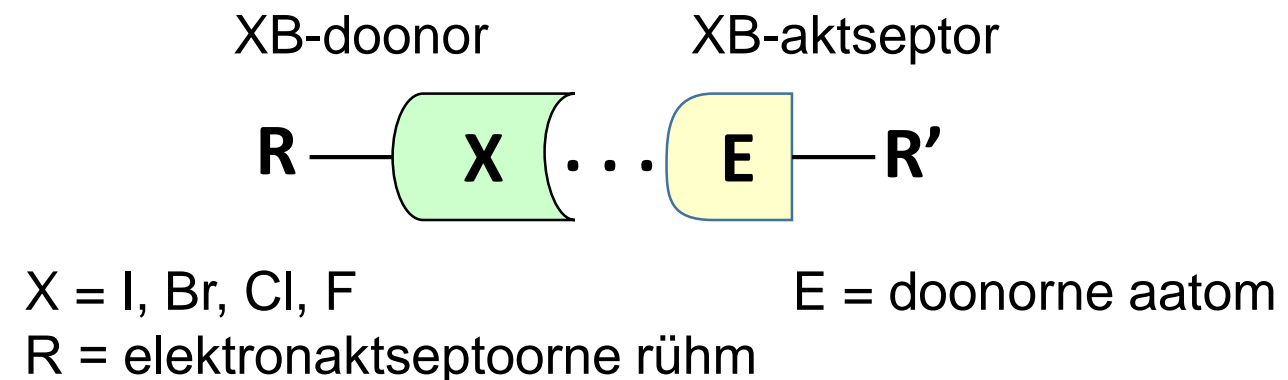


Kriis, K.; Melnik, T.; Lips, K.; Juhanson, I.; Kaabel, S.; Järving, I.; Kanger, T. Asymmetric Synthesis of 2,3,4-Trisubstituted Piperidines. *Synthesis*, **2017**, *49*, 604-614.  
**(SYNTHESIS Best Paper Award 2017)**

# Tetrahüdrofuranüülspirooksindoolide süntees: kolmikkaskaad

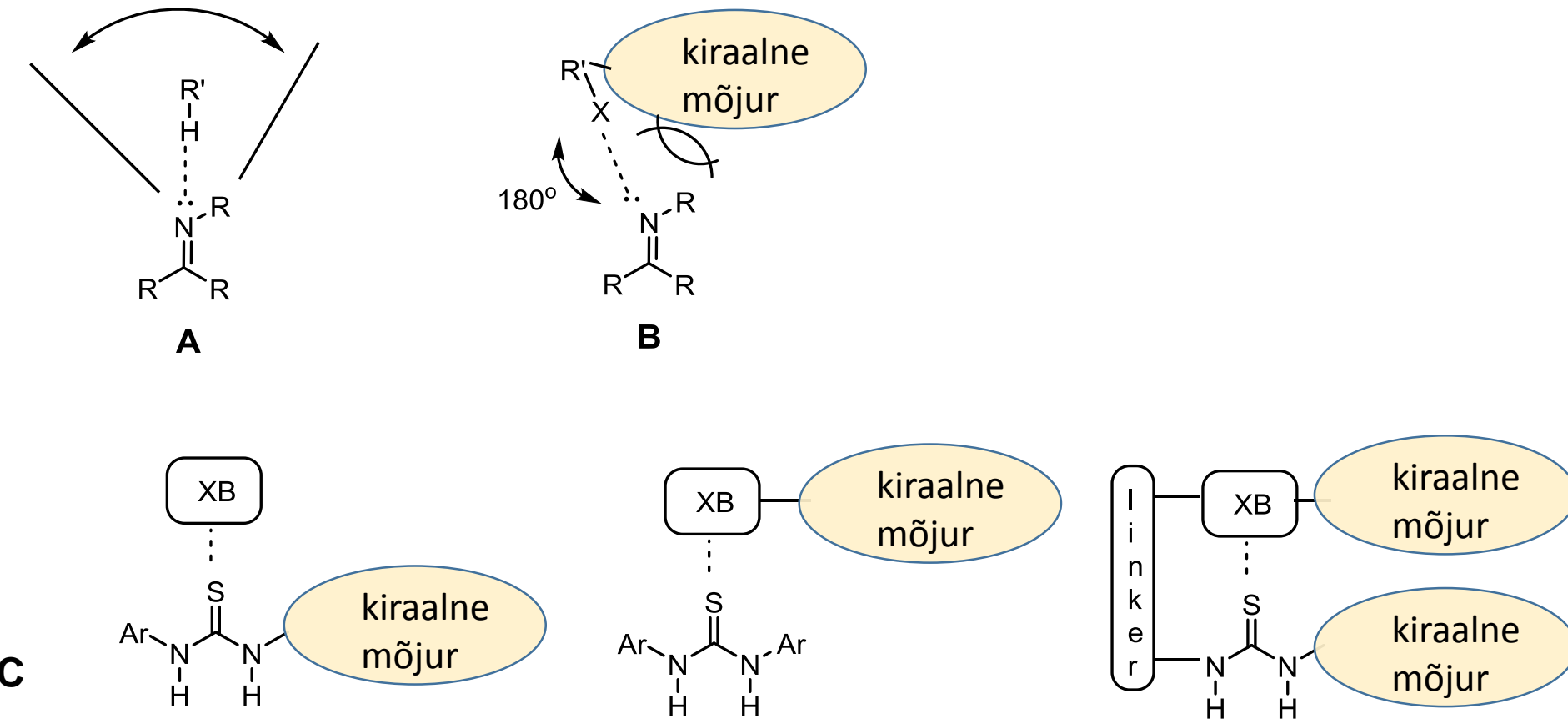


# Halogeensideme (XB) katalüüs



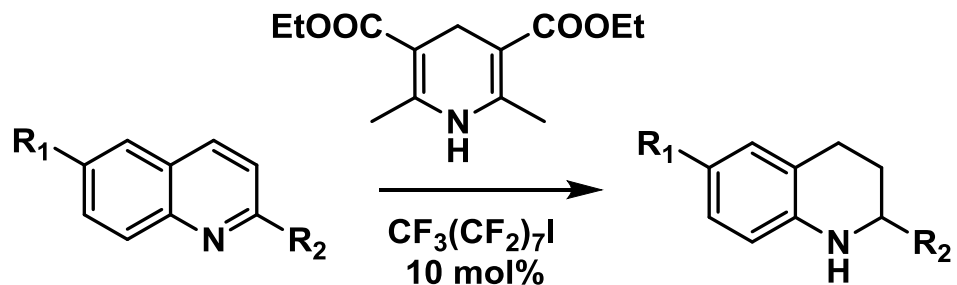
M. Breugst et al. *Synthesis* 2017; 49, 3224

# Haloegensideme (XB) katalüüs

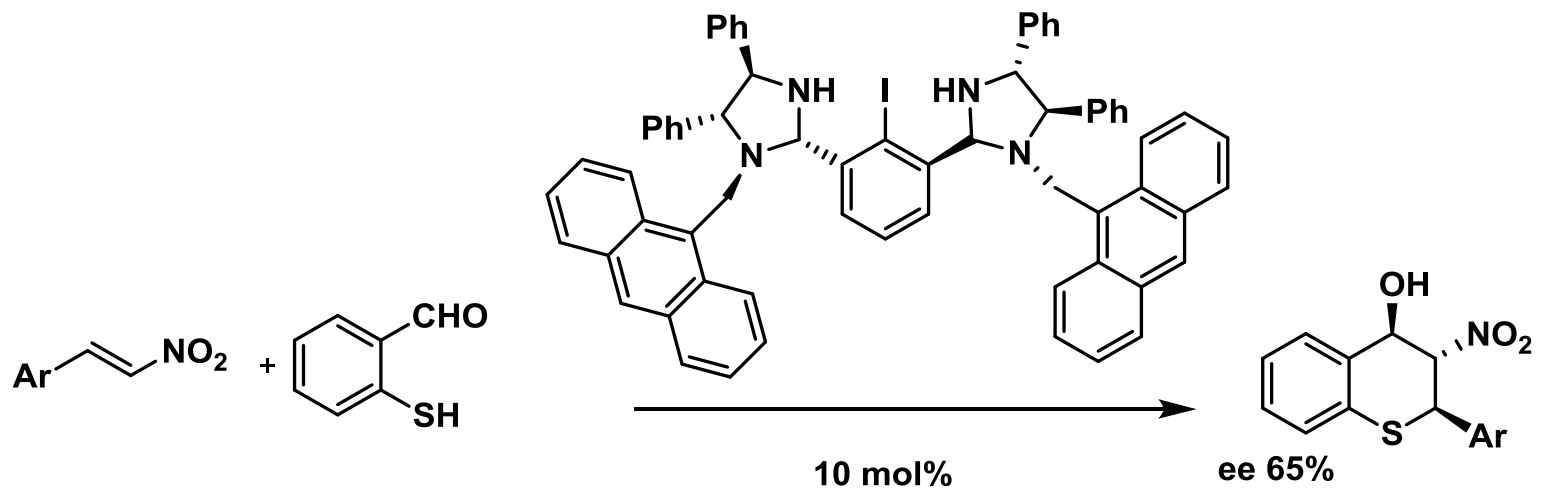


A. H-sideme katalüüs; B: XB-katalüüs; C. Kokatalüüs

# XB-katalüüs

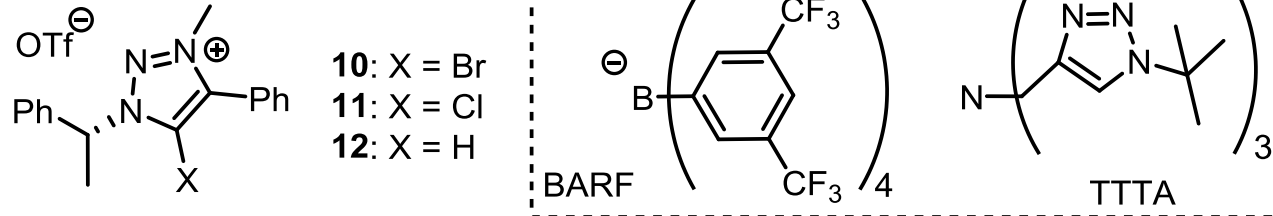
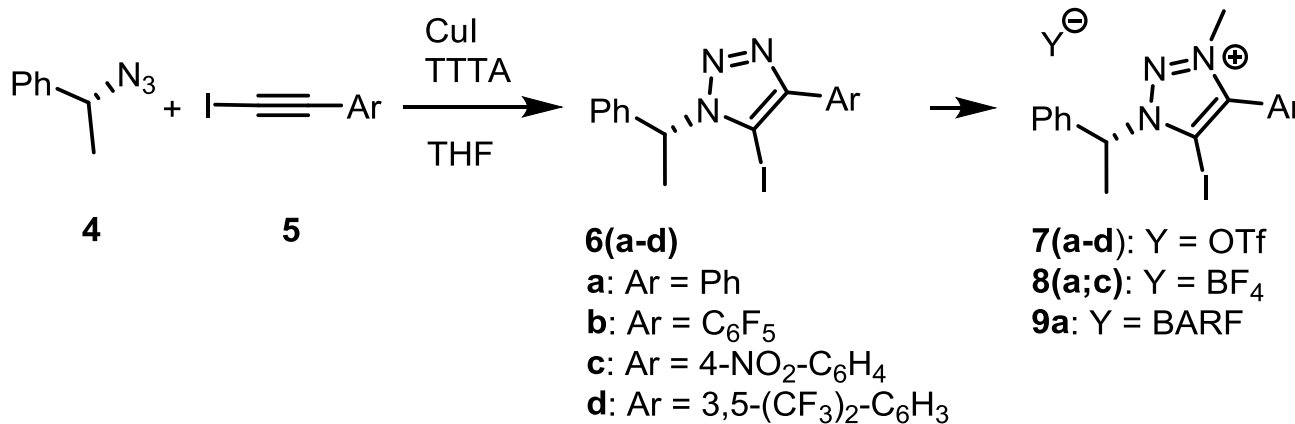


Bolm, C. et al. *Synlett* **2008**, 6, 900

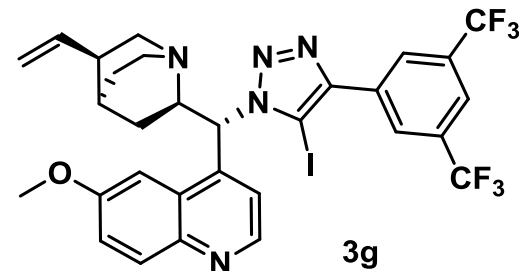
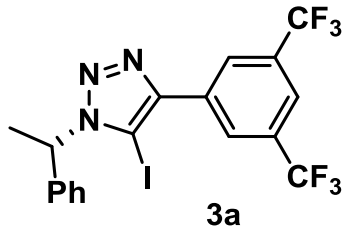
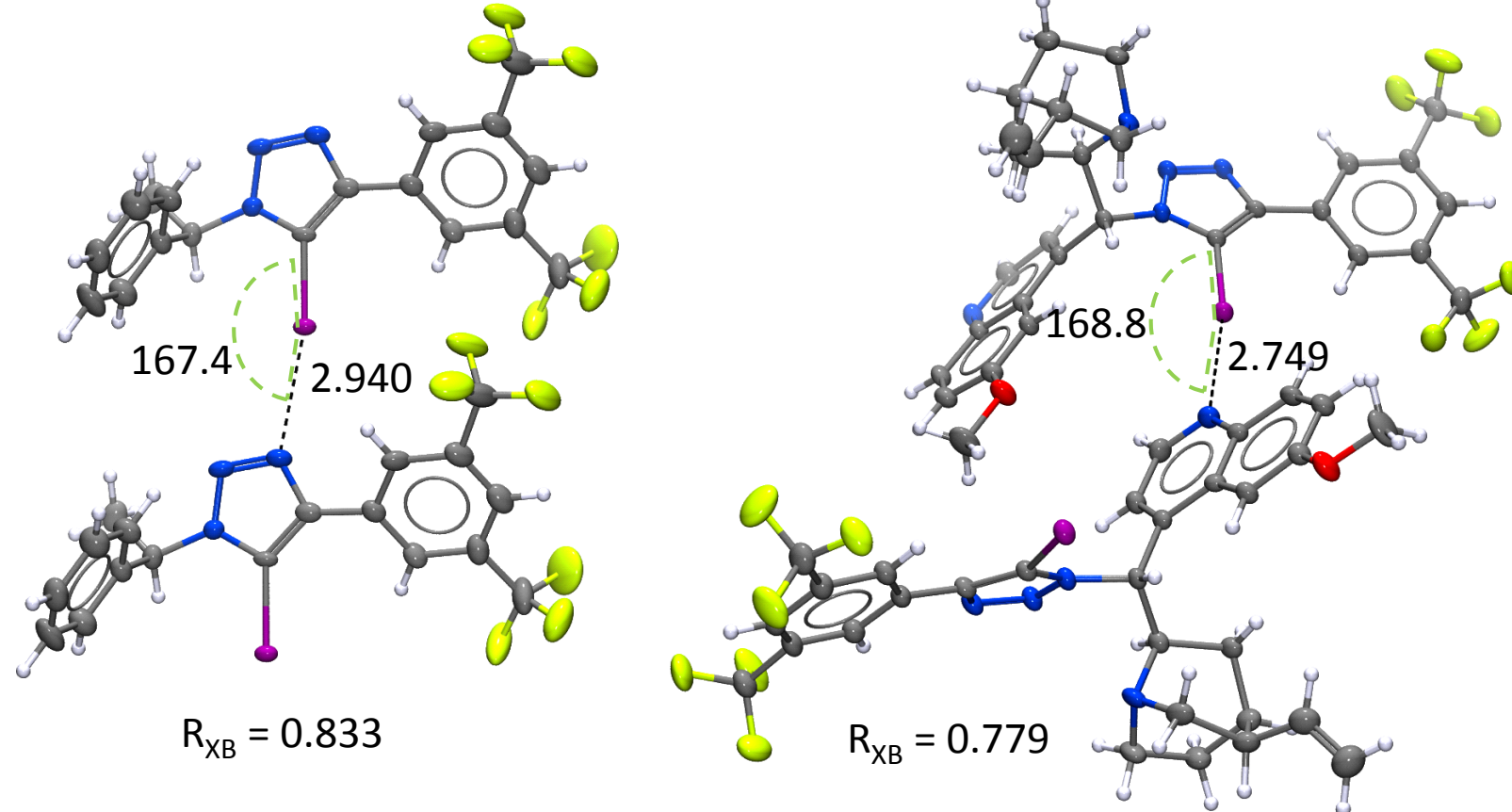


Arai, T. et al. *Synlett* **2017**, 28, 122

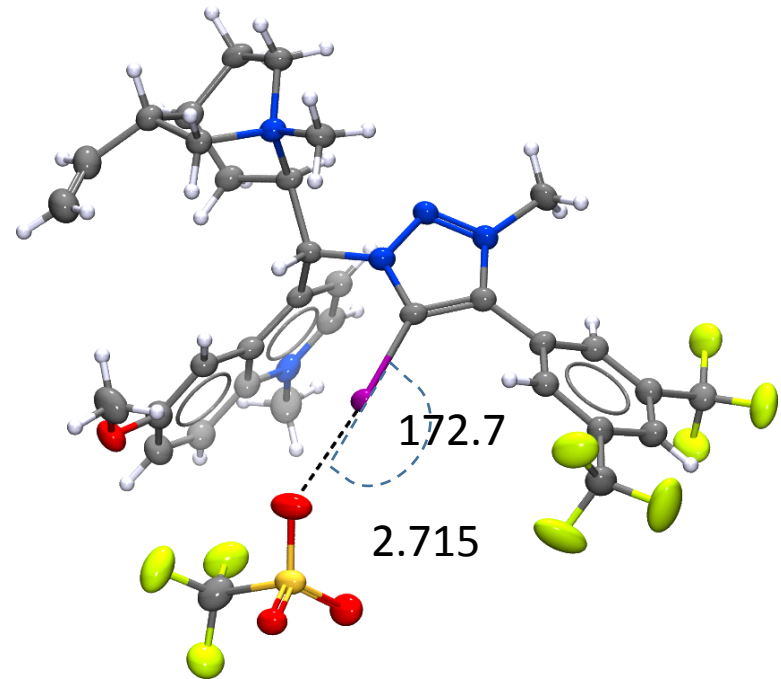
# Halogeensideme doonorite süntees



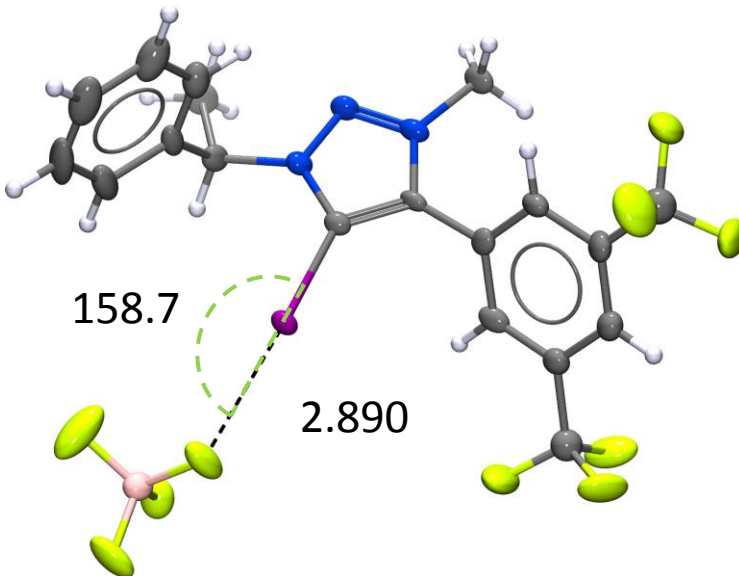
# Halogeenside tahkes faasis



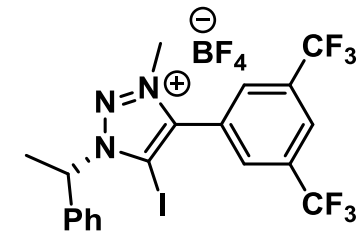
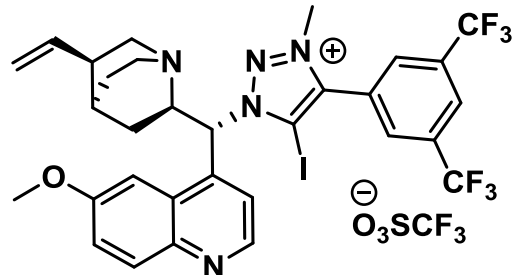
# Halogeenside tahkes faasis



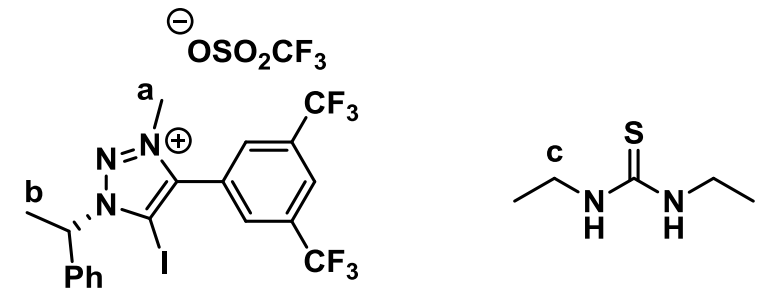
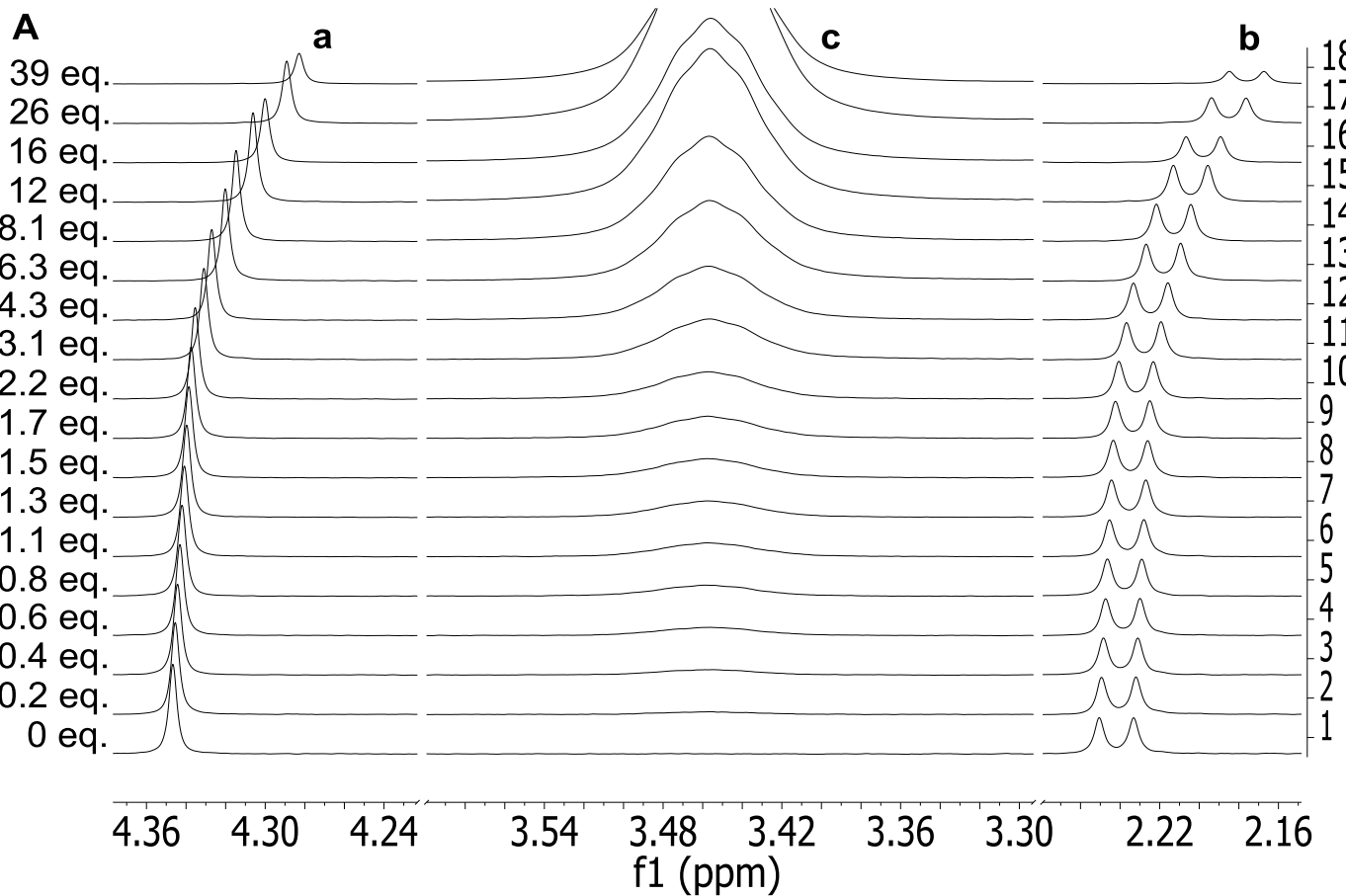
$$R_{XB} = 0.776$$



$$R_{XB} = 0.838$$

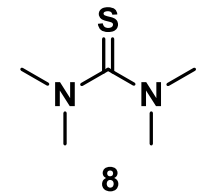
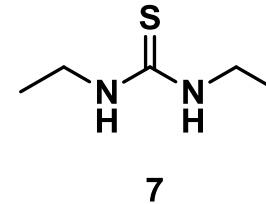
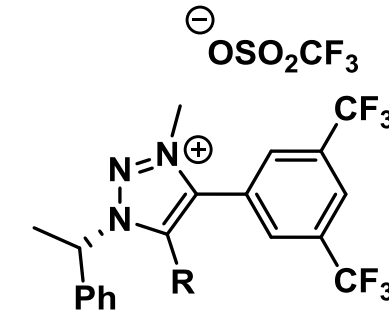


# Halogeenside lahuses



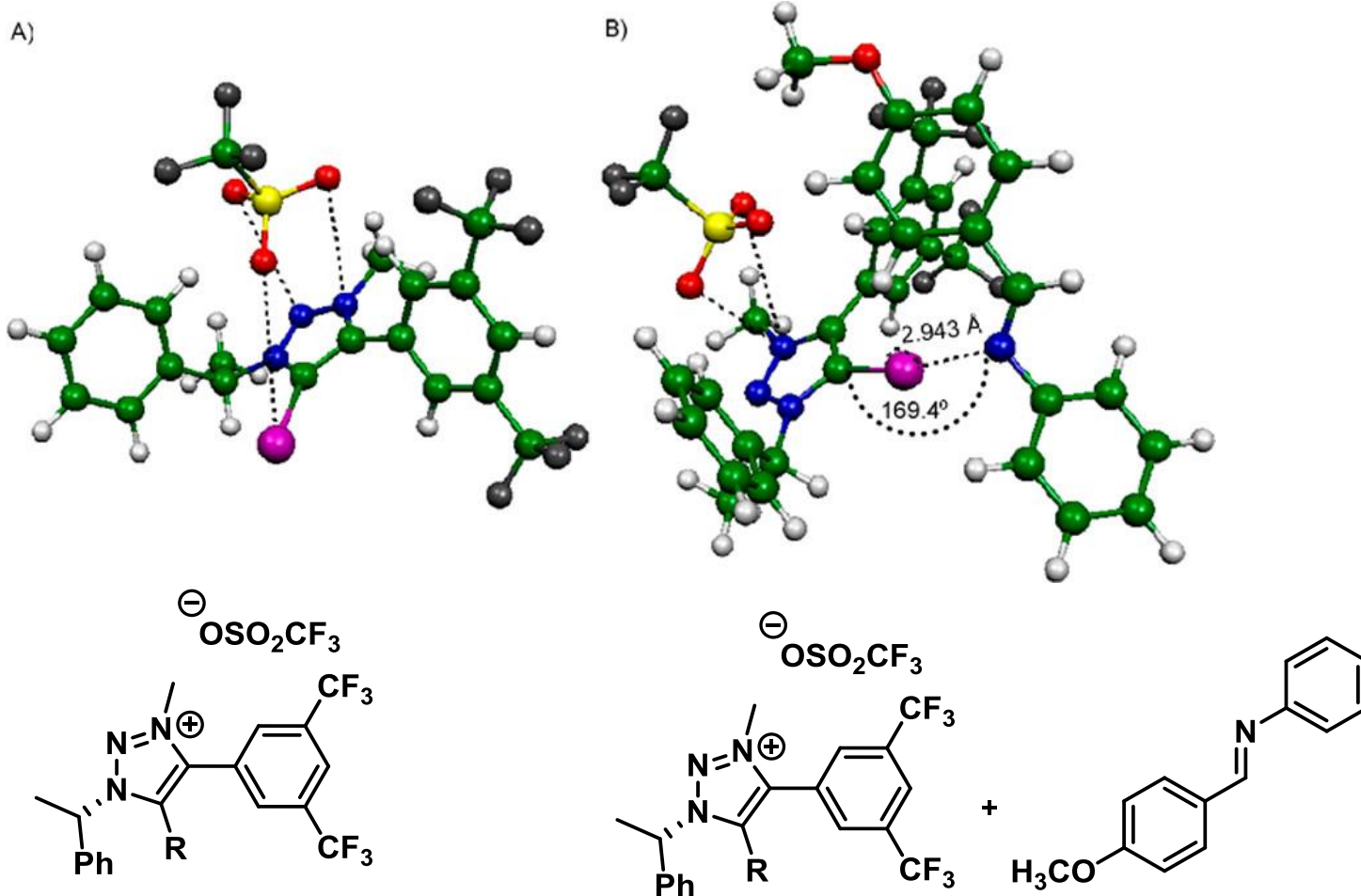
# Halogeenside lahuses

XB doonor	XB aktseptor	$K_A[M^{-1}]$
4a	7	42
4b	7	11
4c	7	29
4a	8	12
4b	8	0.1
4c	8	0.05
4k	7	-



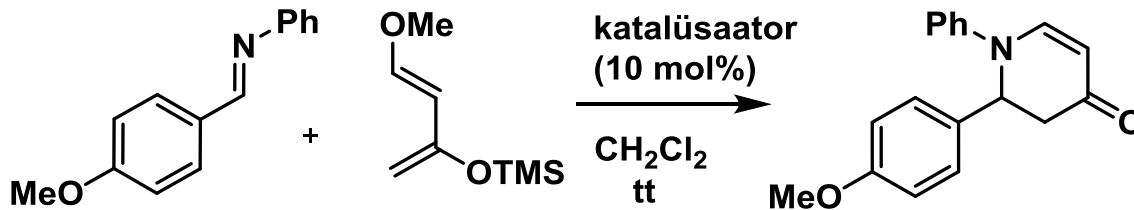
4a: R = I  
 4b: R = Br  
 4c: R = Cl  
 4k: R = H

# Konformatsioonanalüüs

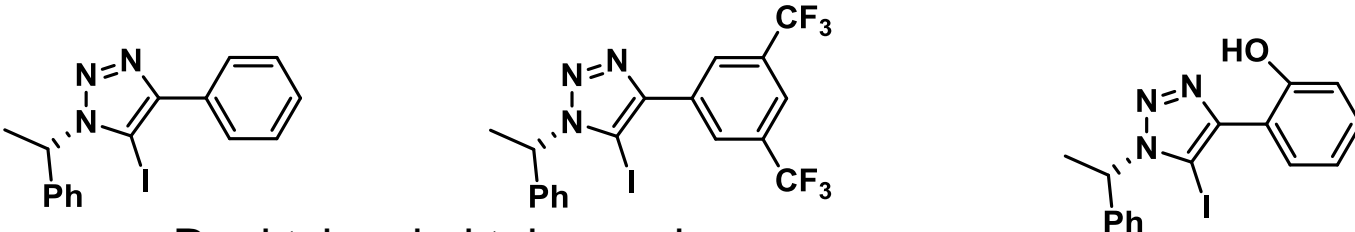


DFT arvutustega leitud kõige stabiilsemad konformatsioonid

# XB-katalüüs

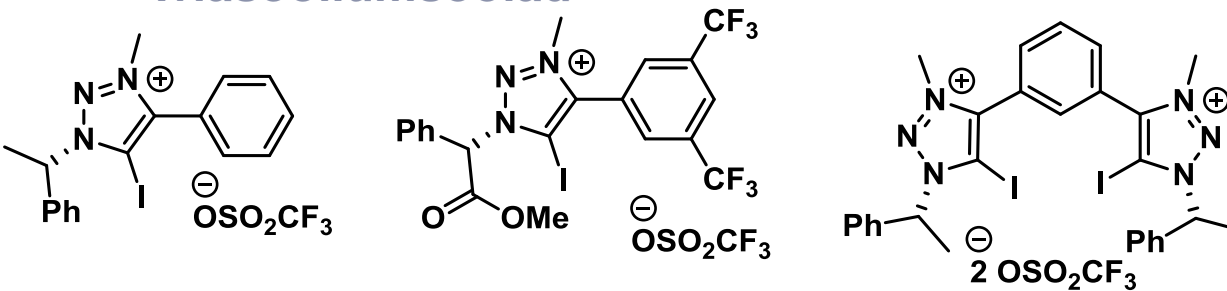


## Elektroneutraalsed katalüsaatorid



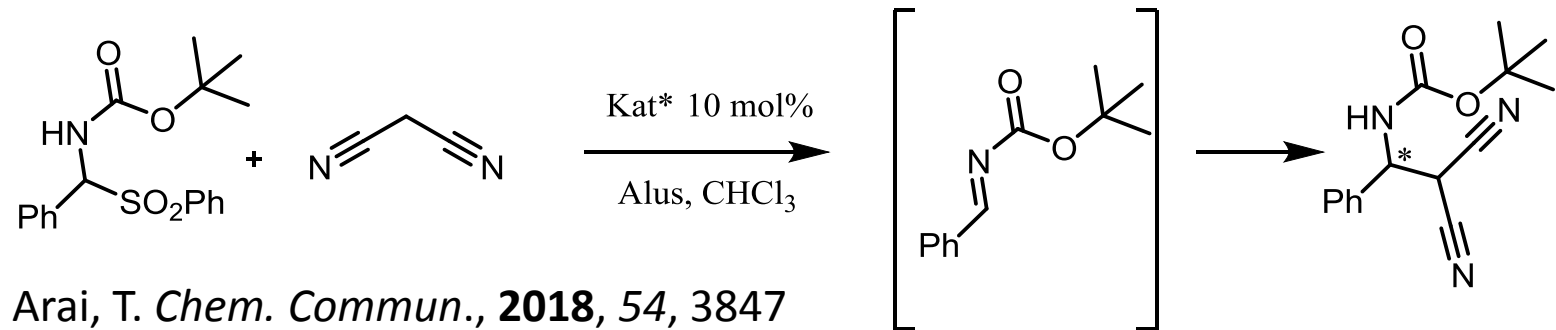
Reaktsiooni ei toimunud

## Triasooliumsoolad



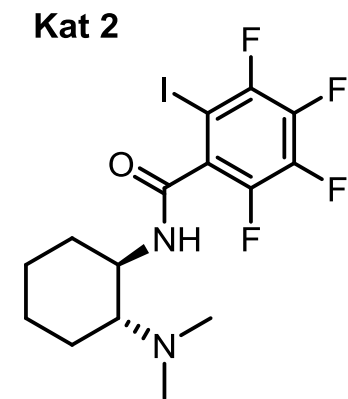
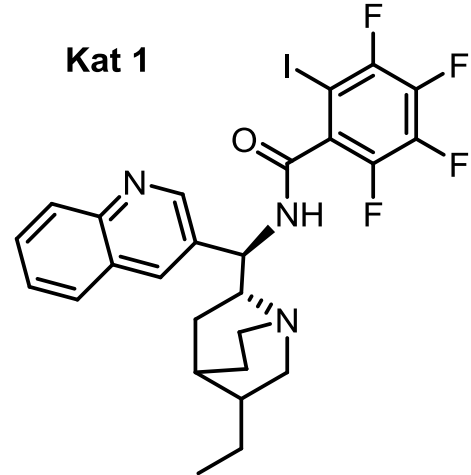
100% konversioon 1-2 tunniga. Produkt ratseemiline

# XB-katalüüs



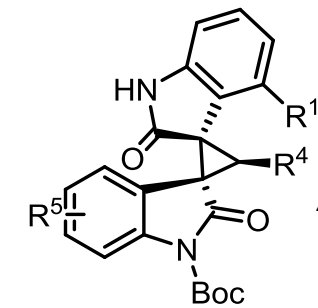
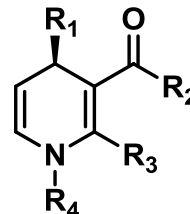
Arai, T. *Chem. Commun.*, 2018, 54, 3847

Katse	Kat.	Alus, Temp.	Saagis %	ee %
			%	
1	Kat 1	$\text{Na}_2\text{CO}_3$ , rt	86	86
2	Kat 2	$\text{Na}_2\text{CO}_3$ , rt	88	76

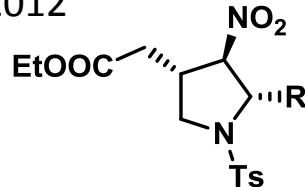


# Kaksikkaskaadid

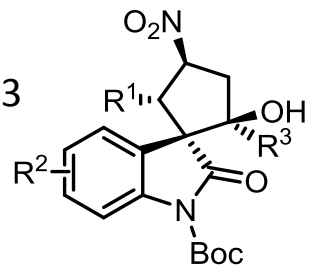
J. Org. Chem. 2011



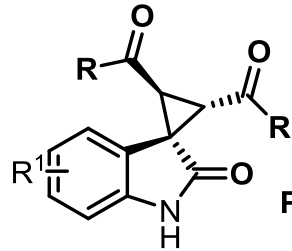
Adv. Synth. Cat. 2013



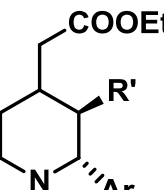
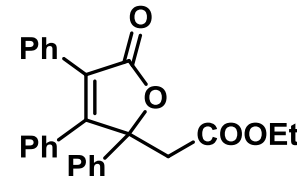
J. Org. Chem. 2013



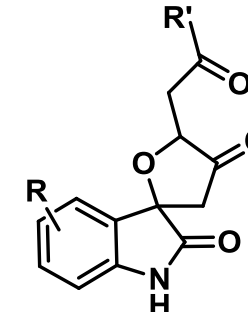
Eur. J. Org. Chem. 2014



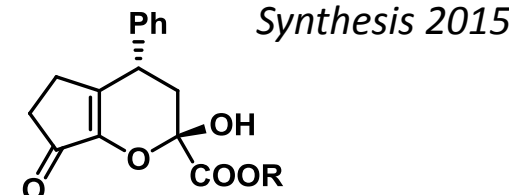
Chem. Heterocycl. Comp. 2018



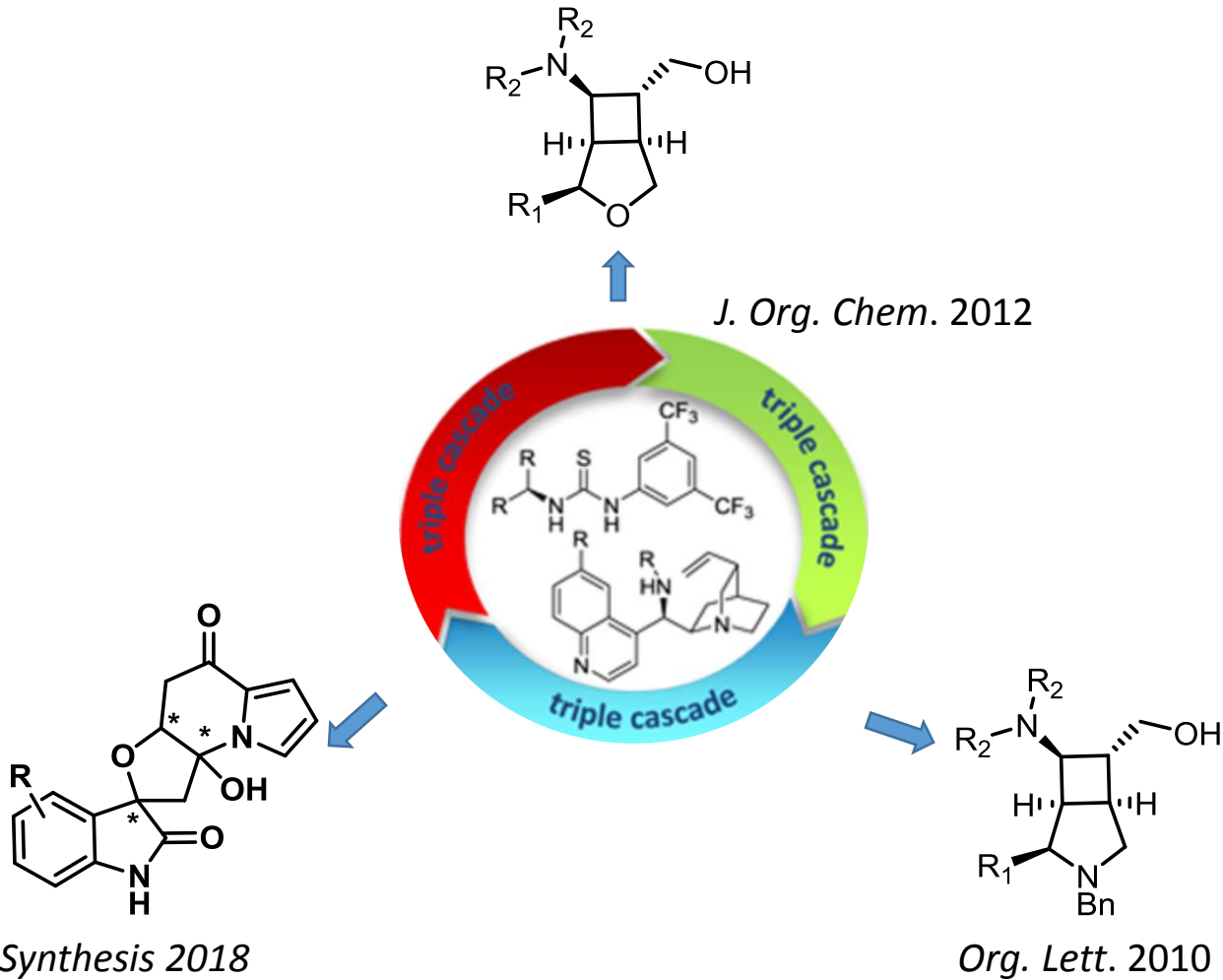
Synthesis 2017



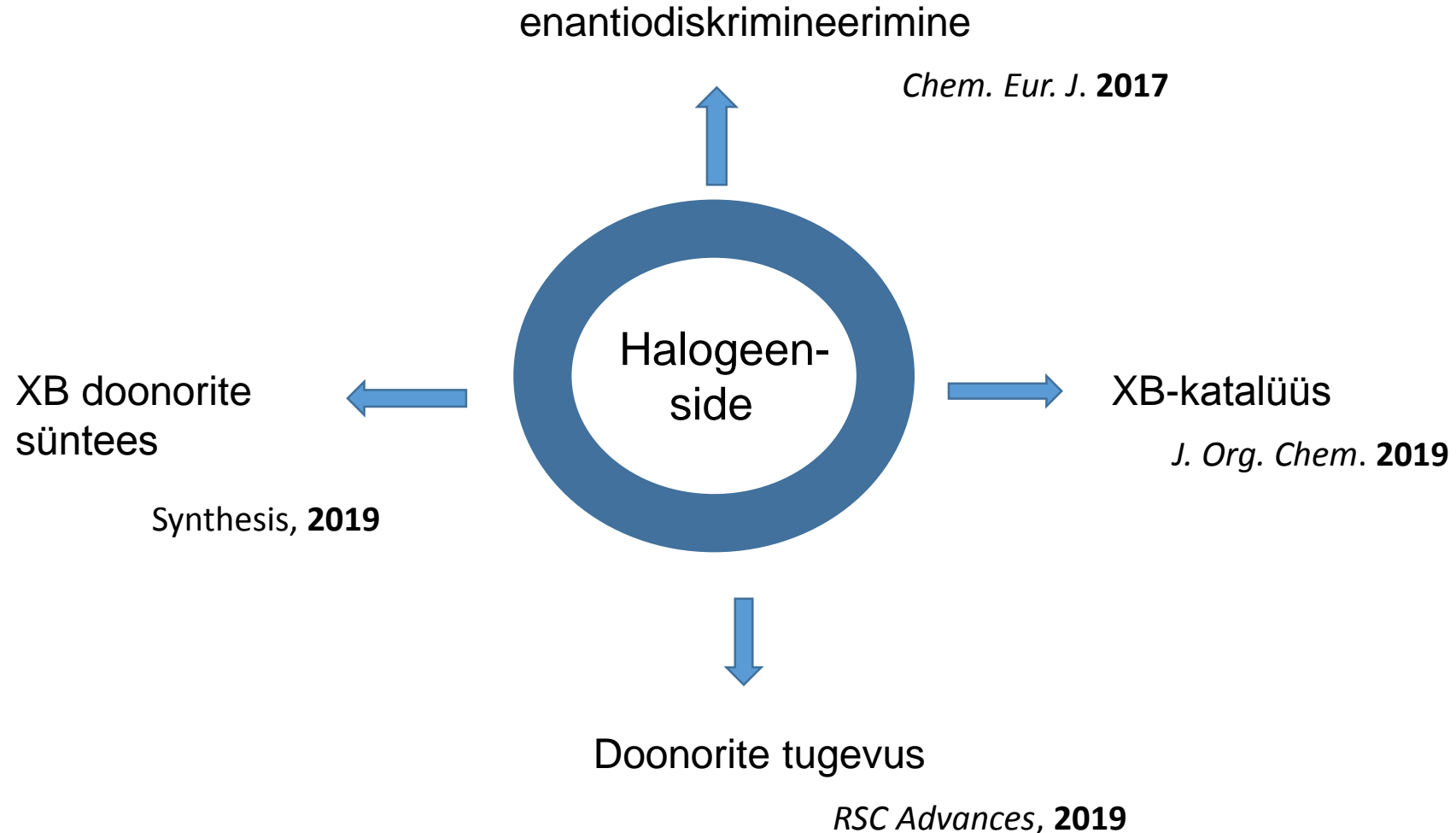
Synthesis 2018



# Kolmikkaskaadid



# Halogeensideme uurimine



Kadri Kriis, PhD

Kristin Erkman, PhD

Andrus Metsala, PhD

PhD üliõpilased:

Mikk Kaasik

Dmitri Trubitsõn

Aleksandra Murre

Estelle Silm

Mariliis Kimm

Endised liikmed:

Marju Laars, PhD

Kerti Ausmees, PhD

Artur Noole, PhD

Sergei Žari, PhD

Maksim Ošeka, PhD

Kärt Reitel, PhD

Prof. Margus Lopp

Prof. Riina Aav

Mati Müürisepp, PhD

Ivar Järving, PhD

Sandra Kaabel, PhD



HTM (Grant nr. PUT1468, UT 19-32) ja Molekulaarse Rakutehnoloogia  
Tippkeskus (TK143); (2014-2020.4.01.15-0013)